

## ПРЕДЕЛЫ РАСПРОСТРАНЕНИЯ ПЛАМЕНИ В УЗКОМ КАНАЛЕ ПРИ ФИЛЬТРАЦИИ ГАЗА

В. В. Замашиков, С. С. Минаев

Институт химической кинетики и горения, 630090 Новосибирск

Предложена модель распространения газового пламени в узком зазоре между двумя пластинами, которая наряду с обычным режимом описывает режим низких скоростей. Характерной особенностью режима низких скоростей является то, что пламя распространяется вместе с порожденной им тепловой волной в пластинах. Показано, что пределы распространения пламени в режиме низких скоростей шире пределов, полученных в классической теории. Получены зависимость скорости распространения пламени и зависимость критического числа Пекле от скорости свежего газа. При числах Пекле, меньших критического значения, определяемого классической теорией, пламя может существовать лишь в некотором интервале скоростей свежей смеси. Обсуждается возможная причина существования верхнего и нижнего пределов распространения пламени по скорости потока свежей смеси.

### ВВЕДЕНИЕ

Тепловая теория пределов распространения газового пламени впервые предложена в [1, 2], где показано, что распространение пламени в узких каналах невозможно в случае, когда характерный размер меньше критического. Согласно этой теории условие распространения пламени имеет вид

$$Pe = \frac{dU_n}{\kappa_g} > Pe_{cr}, \quad (1)$$

где  $Pe$ ,  $Pe_{cr}$  — число Пекле и его критическое значение;  $d$  — характерный размер системы, в которой происходит горение;  $U_n$  — нормальная скорость распространения пламени;  $\kappa_g$  — температуропроводность газа. В [1, 2] предполагалось что: (а) температура стенки канала постоянна и равна температуре окружающей среды; (б) горючий газ и продукты горения охлаждаются по закону ньютоновского теплообмена; (в) фронт пламени плоский; (г) температура продуктов горения изменяется только вдоль направления распространения пламени. Таким образом, в [1, 2] не учитывалась реальная газодинамика потока. В связи с этим появилось множество работ, расширяющих рамки применимости тепловой теории. Например, в [3] исследуется влияние избирательной диффузии на

пределы распространения пламени в канале. В [4, 5] обнаружен режим, при котором температура стенки канала непостоянна. Этот режим, наблюдаемый в цилиндрической трубке при наличии потока свежего газа, характеризуется низкой скоростью распространения волны горения относительно стенки трубки, при этом фронт пламени равномерно движется вместе с тепловой волной в стенке трубки. Тепловая волна порождается и поддерживается за счет тепла, выделившегося при сгорании горючей газовой смеси. В этом режиме происходит передача тепла от продуктов горения к свежей смеси по стенке трубки. Экспериментально показано, что волна горения может существовать в трубках, диаметр которых меньше критического, определяемого из соотношения (1).

Простая квазиодномерная модель режима низких скоростей для одиночной узкой цилиндрической трубки предложена в [6]. В этой модели теплопередача за счет теплопроводности газа считалась не определяющей, поэтому не учитывалась. Фронт пламени моделировался газодинамическим разрывом, разделяющим свежую смесь и продукты горения. Считалось, что температура газа изменяется скачком на фронте пламени. Зависимость нормальной скорости пламени от температуры свежей смеси брали из эксперимента.

Настоящая работа является продолжением [6]. В ней рассматривается распространение плоского пламени в узком зазоре между двумя бесконечными пластинами. В отличие

Работа выполнена при частичной поддержке INTAS-96-1173 и Российского фонда фундаментальных исследований (коды проектов 98-03-32308 и 99-03-32309).

от [6] здесь учитывается теплопроводность газа, что важно для случая, когда теплопроводности газа и стенки близки друг к другу. Кроме того, учитывается диффузия недостающего компонента в свежей смеси. Предложенная математическая модель имеет сходство с моделью фильтрационного горения газа в пористой среде при наличии теплотерь [7, 8]. Однако в [7, 8] верхний предел по скорости фильтрации газа не рассматривался.

### МАТЕМАТИЧЕСКАЯ МОДЕЛЬ

Схема распространения плоской волны горения в зазоре между двумя бесконечными пластинами приведена на рис. 1. Расстояние между пластинами  $d_0$  и толщины пластин  $h$  везде одинаковые. Свежая смесь, заполняющая область 1, движется вдоль оси  $x$  со скоростью  $V$ . Фронт химической реакции представляет собой поверхность  $x = x_f(t)$ , разделяющую свежую смесь и продукты горения (области 1 и 2). Ось  $y$  направлена вдоль нормали к поверхности пластин, а пламя распространяется вдоль оси  $x$ . Газ считается идеальным, давление газа постоянно.

Уравнения распространения тепла по стенкам канала и в газе и уравнение диффузии недостающего компонента смеси имеют вид

$$\begin{aligned} c_{p,g}\rho_g \left( \frac{\partial T_g}{\partial t} + V \frac{\partial T_g}{\partial x} \right) &= \\ &= \lambda_g \left( \frac{\partial^2 T_g}{\partial x^2} + \frac{\partial^2 T_g}{\partial y^2} \right) + QW(T_g), \\ c_w\rho_w \frac{\partial T_w}{\partial t} &= \lambda_w \left( \frac{\partial^2 T_w}{\partial x^2} + \frac{\partial^2 T_w}{\partial y^2} \right), \end{aligned} \quad (2)$$

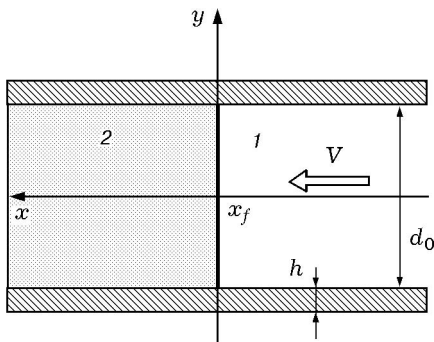


Рис. 1. Схема пламени:  
1 — область свежей смеси, 2 — продукты горения

$$\frac{\partial C}{\partial t} + V \frac{\partial C}{\partial x} = \kappa \left( \frac{\partial^2 C}{\partial x^2} + \frac{\partial^2 C}{\partial y^2} \right) - C_0 W(T_g).$$

Здесь  $T_g, T_w$  — температуры газа и пластины соответственно;  $c_p$  и  $\rho$  — удельная теплоемкость при постоянном давлении и плотность;  $C$  — концентрация недостающего компонента свежей смеси;  $\lambda$  — теплопроводность;  $\kappa$  — коэффициент диффузии недостающего компонента свежей смеси;  $W(T_g)$  — скорость химической реакции;  $Q = c_{p,g}\rho_g(T_{g,b} - T_0)$  — тепло, выделяющееся в ходе химической реакции;  $T_{g,b}$  — адиабатическая температура плоского пламени;  $T_0$  — начальная температура свежей смеси; индексы  $w, g$  относятся к газу и стенке соответственно. При  $x \rightarrow \pm\infty$  должны выполняться следующие условия:

$$\begin{aligned} x \rightarrow -\infty: \quad T_g, T_w &\rightarrow T_0, \quad C \rightarrow C_0, \\ \frac{\partial T_g}{\partial x}, \frac{\partial T_w}{\partial x}, \frac{\partial C}{\partial x} &\rightarrow 0; \end{aligned} \quad (3)$$

$$\begin{aligned} x \rightarrow +\infty: \quad T_g, T_w &\rightarrow T_0, \quad C \rightarrow 0, \\ \frac{\partial T_g}{\partial x}, \frac{\partial T_w}{\partial x}, \frac{\partial C}{\partial x} &\rightarrow 0. \end{aligned} \quad (4)$$

На границах между газом и пластинами в случае ньютоновского теплообмена можно записать условия для потоков тепла:

$$\begin{aligned} y = \pm \frac{d_0}{2}: \quad \lambda_g \frac{\partial T_g}{\partial y} &= \mp \alpha (T_g - T_w), \\ \lambda_w \frac{\partial T_w}{\partial y} &= \pm \alpha (T_g - T_w), \quad \frac{\partial C}{\partial y} = 0; \end{aligned} \quad (5)$$

$$y = \pm \left( \frac{d_0}{2} + h \right): \quad \lambda_w \frac{\partial T_w}{\partial y} = \mp \alpha (T_w - T_0). \quad (6)$$

Здесь  $\alpha$  — коэффициент теплообмена.

В случае сильной зависимости скорости химической реакции от температуры  $W(T_g) \sim \exp(-E/RT_g)$ , когда во фронте пламени безразмерная энергия активации  $N = E/RT_{g,b} \gg 1$ , можно считать, что тепловыделение и поглощение недостающего компонента свежей смеси происходят на поверхности, разделяющей свежую смесь и продукты горения. В этом случае выражение для  $W(T_g)$  можно записать в виде [9]

$$W(T_g) = U_n \delta(x - x_f) \exp\left(\frac{N}{2} \left(1 - \frac{T_{g,b}}{T_{g,f}}\right)\right) \approx$$

$$\approx U_n \delta(x - x_f) \exp\left(\frac{N(T_{g,f} - T_{g,b})}{2T_{g,b}}\right),$$

где  $\delta$  — дельта-функция Дирака,  $T_{g,f}$  — температура на фронте пламени. Так как значения  $T_{g,f}$  и  $T_{g,b}$  близки друг к другу, то  $(T_{g,f} - T_{g,b})/T_{g,b} \ll 1$ . Такая форма записи скорости химической реакции позволяет найти распределение температуры и концентрации газа из решения кусочно-линейной задачи для системы (2) с граничными условиями на фронте химической реакции  $x = x_f$ :

$$\lambda_g \left( \frac{\partial T_{g,1}}{\partial x} - \frac{\partial T_{g,2}}{\partial x} \right) = \rho_g c_{p,g} (T_{g,b} - T_0) \times \\ \times U_n \exp\left(\frac{N(T_{g,f} - T_{g,b})}{2T_{g,b}}\right), \quad (7)$$

$$\kappa \frac{\partial C}{\partial x} = -U_n C_0 \exp\left(\frac{N(T_{g,f} - T_{g,b})}{2T_{g,b}}\right), \quad (8)$$

$$T_{g,1} = T_{g,2} = T_{g,f}, \quad (9)$$

$$C = 0, \quad (10)$$

$$T_{w,1} = T_{w,2}, \quad (11)$$

$$\frac{\partial T_{w,1}}{\partial x} = \frac{\partial T_{w,2}}{\partial x}. \quad (12)$$

Индексы 1 и 2 относятся к областям свежей смеси и продуктов горения соответственно. Уравнение для концентрации в (2) записывается лишь для области свежего газа, так как предполагается, что в процессе химической реакции недостающий компонент полностью расходуется ( $C \equiv 0$  в продуктах горения).

Проинтегрируем уравнения (2) по  $y$  и введем средние значения температур и концентрации:

$$\langle T_g(x, y) \rangle = \frac{1}{d_0} \int_{-d_0/2}^{d_0/2} T_g(x, y) dy = T_g(x),$$

$$\langle C(x, y) \rangle = \frac{1}{d_0} \int_{-d_0/2}^{d_0/2} C(x, y) dy = C(x),$$

$$\langle T_w(x, y) \rangle = \frac{1}{h} \int_{d_0/2}^{d_0/2+h} T_w(x, y) dy = \\ = \frac{1}{h} \int_{-d_0/2-h}^{-d_0/2} T_w(x, y) dy = T_w(x).$$

После интегрирования система уравнений (2) выглядит следующим образом:

$$c_{p,g} \rho_g \left( \frac{\partial T_g}{\partial t} + V \frac{\partial T_g}{\partial x} \right) = \lambda_g \frac{\partial^2 T_g}{\partial x^2} - \frac{2\alpha(T_g - T_w)}{d_0}, \\ c_w \rho_w \frac{\partial T_w}{\partial t} = \lambda_w \frac{\partial^2 T_w}{\partial x^2} - \frac{\alpha(2T_w - T_g - T_0)}{h}, \quad (13)$$

$$\frac{\partial C}{\partial t} + V \frac{\partial C}{\partial x} = \kappa \frac{\partial^2 C}{\partial x^2}.$$

При выводе этих уравнений использовались условия (5) и (6) для потоков тепла на границе между газом и стенками канала. Перейдем к безразмерным переменным  $T$ ,  $\theta$ ,  $C'$  и  $\eta$ :

$$T \rightarrow \frac{T_g - T_0}{T_{g,b} - T_0}, \quad \theta \rightarrow \frac{T_w - T_0}{T_{g,b} - T_0}, \quad C' \rightarrow \frac{C}{C_0},$$

$$\eta = \frac{(x - x_f) \rho_g c_{p,g} U_n}{\lambda_g}.$$

Будем искать стационарные решения. В этом случае фронт пламени движется вдоль оси  $x$  с постоянной скоростью:  $x_f = Ut$ . Температура и концентрация являются функциями только переменной  $\eta$ . Учитывая это, уравнения (13) в безразмерных переменных перепишем в виде

$$(v - u) \frac{\partial T}{\partial \eta} = \frac{\partial^2 T}{\partial \eta^2} - \Omega_g(T, \theta),$$

$$-u \frac{\partial \theta}{\partial \eta} = k \frac{\partial^2 \theta}{\partial \eta^2} - \Omega_w(2\theta - T), \quad (14)$$

$$(v - u) \frac{\partial C}{\partial \eta} = \frac{\partial^2 C}{\partial \eta^2}.$$

При выводе уравнений принималось, что коэффициент температуропроводности газа  $\kappa_g =$

$\lambda_g/\rho_g c_g$  не зависит от температуры и равен коэффициенту молекулярной диффузии  $\kappa$ . В (14) использовались следующие обозначения:

$$v = \frac{V}{U_n}, \quad u = \frac{U}{U_n}, \quad k = \frac{\lambda_w c_p g \rho_g}{\lambda_g c_w \rho_w},$$

$$\Omega_g = \frac{2\alpha \kappa_g}{d_0 c_p g \rho_g U_n^2} = \frac{2Nu}{Re^2},$$

$$\Omega_w = \Omega_g \sigma, \quad \sigma = \frac{d_0 \rho_g c_p g}{2h \rho_w c_w}.$$

Здесь  $Nu = \alpha d_0/\lambda_g$  — число Нуссельта,  $Re = U_n d_0/\kappa_g$  — число Пекле,  $\sigma$  — отношение объемной теплоемкости газа к объемной теплоемкости стенок канала. В безразмерных переменных граничные условия для (14) при  $\eta \rightarrow \pm\infty$  приобретают вид

$$\eta \rightarrow -\infty: \quad T_1, \theta_1 \rightarrow 0, \quad C' \rightarrow 1, \quad (15)$$

$$\frac{\partial T_1}{\partial \eta}, \frac{\partial \theta_1}{\partial \eta}, \frac{\partial C'}{\partial \eta} \rightarrow 0;$$

$$\eta \rightarrow +\infty: \quad T_2, \theta_2, \frac{\partial T_2}{\partial \eta}, \frac{\partial \theta_2}{\partial \eta} \rightarrow 0, \quad (16)$$

а граничные условия на фронте пламени ( $\eta = 0$ ) имеют вид

$$\frac{\partial T_2}{\partial \eta} - \frac{\partial T_1}{\partial \eta} = \frac{\partial C'}{\partial \eta}, \quad (17)$$

$$\frac{\partial C}{\partial \eta} = -\exp\left(\frac{Ze(T_f - 1)}{2}\right), \quad (18)$$

$$Ze = \frac{E(T_b - T_0)}{RT_b^2},$$

$$T_1 = T_2 = T_f, \quad (19)$$

$$C' = 0, \quad (20)$$

$$\theta_1 = \theta_2, \quad (21)$$

$$\frac{\partial \theta_1}{\partial \eta} = \frac{\partial \theta_2}{\partial \eta}. \quad (22)$$

Система (14) с граничными условиями (15)–(22) описывает стационарную волну горения в зазоре между двумя бесконечными пластинами при наличии потока горючего газа.

### СКОРОСТЬ РАСПРОСТРАНЕНИЯ ВОЛНЫ ГОРЕНИЯ И ПРЕДЕЛЫ РАСПРОСТРАНЕНИЯ ПЛАМЕНИ

Решения линейной системы уравнений (14) с граничными условиями на фронте пламени (19), (20) имеют следующий вид:

$$T_1 = (T_f - A) \exp(\lambda_1 \eta) + A \exp(\lambda_2 \eta), \quad (23)$$

$$T_2 = (T_f - B) \exp(\lambda_3 \eta) + B \exp(\lambda_4 \eta), \quad (24)$$

$$\theta_1 = r_1(T_f - A) \exp(\lambda_1 \eta) + r_2 A \exp(\lambda_2 \eta), \quad (25)$$

$$\theta_2 = r_3(T_f - B) \exp(\lambda_3 \eta) + r_4 B \exp(\lambda_4 \eta), \quad (26)$$

$$C = 1 - \exp((v - u)\eta). \quad (27)$$

При  $\lambda_1, \lambda_2 > 0$  и  $\lambda_3, \lambda_4 < 0$  решения удовлетворяют условиям (15), (16), когда  $\eta \rightarrow \pm\infty$ . Подставляя (23)–(26) в уравнения (14) и приравнявая нулю выражения при  $\exp(\lambda_i \eta)$ , можно найти выражения для коэффициентов  $r_i$ :

$$r_i = -\frac{1}{\Omega_g}(\lambda_i^2 - (v - u)\lambda_i - \Omega_g) =$$

$$= -\frac{\Omega_w}{k\lambda_i^2 + u\lambda_i - 2\Omega_w} \quad (28)$$

— и получить характеристическое уравнение для  $\lambda_i$ :

$$\lambda^4 + \left[u + \frac{u}{k} - v\right] \lambda^3 - \left[\frac{u(v - u)}{k} + \frac{2\Omega_w}{k} + \Omega_g\right] \lambda^2 +$$

$$+ \frac{1}{k}[2\Omega_w(v - u) - u\Omega_g] \lambda + \frac{\Omega_g \Omega_w}{k} = 0. \quad (29)$$

При используемых значениях коэффициентов корни этого алгебраического уравнения действительные. Для них выполняются условия  $\lambda_1, \lambda_2 > 0$ ;  $\lambda_3, \lambda_4 < 0$ .

Подставляя решения (25), (26) в граничные условия на фронте пламени (21), (22), найдем связь между коэффициентами  $A$ ,  $B$  и температурой газа на фронте пламени  $T_f$ :

$$\lambda_1 r_1(T_f - A) + \lambda_2 r_2 A =$$

$$= \lambda_3 r_3(T_f - B) + \lambda_4 r_4 B, \quad (30)$$

$$r_1(T_f - A) + r_2 A = r_3(T_f - B) + r_4 B. \quad (31)$$

Подставляя решения (23), (24), (27) в граничное условие (17), получим

$$(\lambda_3 - \lambda_1)T_f + (\lambda_4 - \lambda_3)B + (\lambda_1 - \lambda_2)A = u - v. \quad (32)$$

Из граничного условия (18) получим связь температуры на фронте пламени со скоростью волны горения  $u$  и скоростью горячего газа  $v$ :

$$T_f = 1 + \frac{2}{Ze} \ln(v - u). \quad (33)$$

Уравнения (30)–(33) позволяют найти зависимость скорости и температуры во фронте пламени от скорости движения горячего газа.

Рассмотрим частный случай решения системы (14), когда  $\Omega_w = 0$ , соответствующий классической постановке задачи с постоянной температурой стенок. При  $\Omega_w \rightarrow 0$  коэффициенты  $r_i$ ,  $A$ ,  $B$  стремятся к нулю и решения (23)–(27) приобретают простой вид:

$$T_1 = T_f \exp(\lambda_+ \eta), \quad (34)$$

$$T_2 = T_f \exp(\lambda_- \eta), \quad (35)$$

$$\theta_1 = \theta_2 = 0, \quad (36)$$

$$C' = 1 - \exp(-(v - u)\eta). \quad (37)$$

Здесь  $\lambda_+ > 0$ ,  $\lambda_- < 0$  — корни квадратного уравнения

$$\lambda^2 + (u - v)\lambda - \Omega_g = 0. \quad (38)$$

Заметим, что после умножения (38) на  $\lambda(\lambda + u/k)$  получившееся уравнение совпадает с (29) при  $\Omega_w \rightarrow 0$ .

Подставляя (34), (35), (37) в граничные условия (17), (18) и считая, что  $\Omega_g \ll |v - u|$ , получим

$$T_f = 1 - \frac{2\Omega_g}{(v - u)^2}, \quad (39)$$

$$v - u = \exp\left(-\frac{Ze \Omega_g}{(v - u)^2}\right). \quad (40)$$

Из последнего уравнения следует, что предел распространения пламени определяется условием  $Ze \Omega_g \leq 1/2e$ . Только при выполнении этого условия, которое можно записать в виде

$$Pe \geq Pe_{cr} = \sqrt{4eNuZe}, \quad (41)$$

уравнение (40) будет иметь действительные решения. Величина нормальной скорости на пределе, когда  $Pe = Pe_{cr}$ , равна  $v - u = 1/\sqrt{e}$ . Подробный анализ решений уравнения (40) приведен в [1]. При  $Pe > Pe_{cr}$  неявное уравнение (40) относительно нормальной скорости волны горения  $v - u$  имеет два решения. В предельной точке, когда  $Pe = Pe_{cr}$  эти два решения сливаются. Как численно показано в [10] и аналитически — в [3], решение с меньшим значением нормальной скорости неустойчиво относительно малых возмущений, а решение с большей скоростью устойчиво и соответствует скорости стационарного неадиабатического пламени. В отсутствие теплопотерь  $\Omega_g = 0$  и  $v - u = 1$ .

При конечном значении параметра  $\Omega_w$  уравнения (32), (33) решались численно. Расчеты показали, что имеется два характерных типа зависимостей  $u(v)$ : при  $Pe > Pe_{cr}$  и  $Pe < Pe_{cr}$ .

В случае  $Pe < Pe_{cr}$ , когда согласно классическим представлениям распространение пламени невозможно, расчет по данной модели допускает существование волны горения в некотором интервале значений скорости потока. На рис. 2 показана типичная для этого случая зависимость  $u(v)$ . Как видно из рис. 2, существуют верхний и нижний пределы распространения волны горения по скорости потока горячего газа. При скорости потока, лежащей между этими предельными значениями, можно выделить верхнюю и нижнюю ветви зависимости  $u(v)$ . В предельных точках, как и в класси-

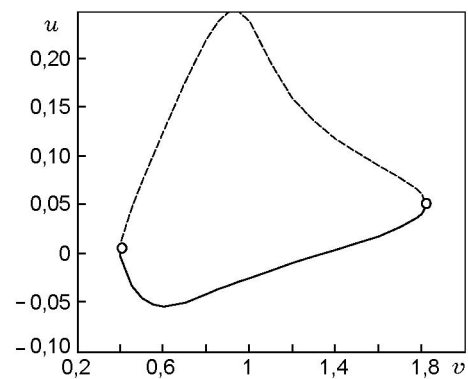


Рис. 2. Зависимость  $u(v)$  при  $Pe = 0,8Pe_{cr}$ ,  $Ze = 10$ ,  $Nu = 10$ ,  $\sigma = 0,01$ ,  $k = 2$ :

кружки — предельные точки; предполагается, что кривая  $u(v)$ , лежащая ниже предельных точек, моделирует стационарную волну горения

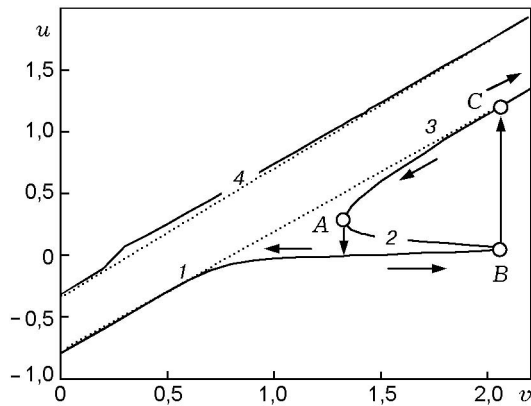


Рис. 3. Зависимость  $u(v)$  при  $Pe = 1,1Pe_{cr}$ ,  $Ze = 10$ ,  $Nu = 10$ ,  $\sigma = 0,01$ ,  $k = 2$ :

пунктирные линии — зависимости  $u(v)$ , соответствующие двум решениям классической модели [1]; предполагается, что решения 1, 3 устойчивы; стрелками показано возможное явление гистерезиса при изменении скорости потока горючего газа  $v$

ческой постановке задачи, скорость волны горения определена однозначно. Существование верхнего предела по скорости связано с тем, что тепло, передаваемое из продуктов сгорания через стенки канала в свежую смесь, не успевает ее прогреть для того, чтобы обеспечить условия распространения волны горения. Нижний предел связан с тем, что при уменьшении скорости потока увеличивается теплоотвод из зоны химической реакции.

Рассмотрим случай  $Pe > Pe_{cr}$ . При  $v \leq v_A$ ,  $v \geq v_B$  (рис. 3), где  $v_A$  и  $v_B$  — скорости газа в точках  $A$  и  $B$ , имеется два решения (кривые 1, 3 и кривая 4), как и в классической теории [1]. Линейные зависимости  $u(v)$ , соответствующие двум значениям постоянной нормальной скорости в классической модели [1], показаны пунктирными линиями. Поскольку при  $v \rightarrow \pm\infty$  кривые 1, 3 асимптотически приближаются к пунктирным прямым линиям, которые представляют собой устойчивое решение, можно предположить, что решения 1, 3 также устойчивы. Решение 4, по-видимому, неустойчиво, поскольку слабо отличается от неустойчивого решения классической модели. Отметим, что экспериментальные зависимости в [5] качественно хорошо согласуются с решениями 1, 3.

В интервале  $v_A < v < v_B$  скорость волны горения определяется неоднозначно. При заданном значении  $v$  модель дает четыре возможных значения скорости волны горения  $u$  на кри-

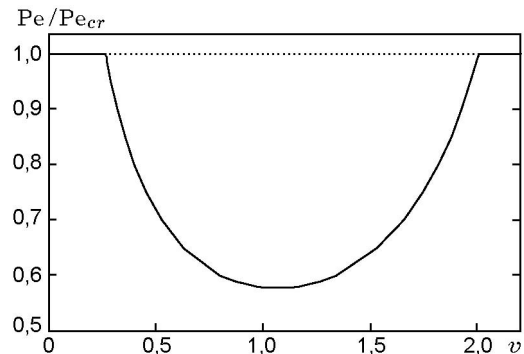


Рис. 4. Зависимость предельного значения безразмерного числа Пекле  $Pe/Pe_{cr}$  от скорости газа  $v$ : выше сплошной кривой допускается существование стационарной волны горения; пунктирная линия — граница существования волн горения в классической модели [1]

вых 1–4, представленных на рис. 3. Предположим, что решение 2 неустойчиво, а решения 1 и 3 неустойчивы в некоторой окрестности точек  $A$  и  $B$ . В этом случае возможно явление гистерезиса. Действительно, будем, находясь на кривой 1, медленно увеличивать скорость потока горючего газа. Это приведет к перемещению по этой кривой до тех пор, пока не будет достигнута точка  $B$ , где решение становится неустойчивым. При дальнейшем малом увеличении скорости возможно скачкообразное увеличение видимой скорости до значения, соответствующего точке  $C$  на кривой 3. Такое поведение скорости волны горения  $u(v)$  показано на рис. 3 стрелкой. Если продолжать увеличивать скорости потока, то зависимость  $u(v)$  будет описываться кривой 3. Теперь, если, находясь на кривой 3, уменьшать  $v$ , то будем перемещаться по кривой 3 вплоть до точки  $A$ , где решение становится неустойчивым. Далее становится возможным скачкообразный переход на кривую 1. Хотя эти рассуждения носят характер предположения, имеются экспериментальные свидетельства в пользу существования подобных гистерезисных явлений [5]. Строгое доказательство существования гистерезисных явлений в рамках рассматриваемой модели может быть получено из численных экспериментов и анализа устойчивости решений 1–4.

Область существования волны горения в плоскости параметров  $v$  и безразмерного числа Пекле  $Pe/Pe_{cr}$  показана на рис. 4. Сплошная кривая — результат численного расчета верхнего и нижнего предельных значений скорости

потока для заданного числа  $Pe$ . В классической модели условие существования волны горения не зависит от скорости газа (в случае, если  $Nu = \text{const}$ ). Граница существования пламени для этой модели показана на рис. 4 пунктирной линией. Прогрев стенок, сопровождающий распространение пламени, приводит к расширению пределов его существования. Пламена могут существовать в физических системах, для которых число  $Pe$  меньше критического (41). На рис. 4 область, в которой возможно распространение пламени, находится над сплошной линией. Интересно, что существует минимальное значение числа  $Pe$ , при котором распространение пламени оказывается невозможным при любом значении  $v$ .

### ЗАКЛЮЧЕНИЕ

Создана двухтемпературная модель распространения пламени в узком зазоре между двумя пластинами, которая наряду с обычным режимом описывает режим низких скоростей. В модели учитываются теплообмен между газом и пластинами, теплопроводность газа и пластин, диффузия недостающего компонента свежей смеси и пренебрегается реальным двумерным распределением температуры в газовой фазе. Несмотря на грубую одномерную постановку, модель дает хорошую оценку для скорости распространения плоского пламени при различных параметрах задачи. Показано, что в режиме низких скоростей прогрев стенок пластин, между которыми движется пламя, приводит к расширению предела его распространения, задаваемого классической тепловой теорией Зельдовича. Определена область существования пламени в плоскости: безразмерное число Пекле и безразмерная скорость горючего газа. Показано, что существуют нижний и верхний пределы распространения волны горения по скорости потока горючего газа при

значениях числа Пекле меньше критического, когда распространение пламени невозможно в рамках классической тепловой теории. Указано на возможность гистерезисных явлений для неадиабатических пламен, распространяющихся в узком канале.

### ЛИТЕРАТУРА

1. Зельдович Я. Б. Теория предела распространения тихого пламени // ЖЭТФ. 1941. Т. 11, вып. 1. С. 159–168.
2. Spalding D. B. A theory of inflammability limits and flame-quenching // Prog. Roy. Soc. L. 1957. V. A240, N 1220. P. 83–100.
3. Joulin G., Clavin P. Linear stability analysis of nonadiabatic flames: a thermal-diffusional model // Combust. Flame. 1979. V. 35, N 3. P. 139–145.
4. Zamashchikov V. V. Experimental investigation of gas combustion regimes in narrow tubes // Combust. Flame. 1997. V. 108, N 3. P. 357–359.
5. Замащиков В. В. Особенности горения пропано- и водородовоздушных смесей в узкой трубке // Физика горения и взрыва. 1997. Т. 33, № 6. С. 14–21.
6. Замащиков В. В. О горении газа в узкой трубке // Физика горения и взрыва. 2000. Т. 36, № 2. С. 22–26.
7. Бабкин В. С., Дробышев В. И., Лаевский Ю. М. и др. Фильтрационное горение газов // Физика горения и взрыва. 1983. Т. 19, № 2. С. 17–22.
8. Лаевский Ю. М., Бабкин В. С., Дробышев В. И. и др. К теории фильтрационного горения газов // Физика горения и взрыва. 1984. Т. 20, № 6. С. 3–13.
9. Matkowsky B. J., Sivashinsky G. I. An asymptotic derivation of two models in flame theory associated with the constant density approximation // SIAM J. Appl. Math. 1979. V. 37, N 3. P. 689–699.
10. Zeldovich Ya. B., Barenblatt G. I. Theory of flame propagation // Combust. Flame. 1959. V. 3. P. 61–74.

*Поступила в редакцию 4/VIII 1999 г.*